

■ СУПЕРКОМПЬЮТЕРНОЕ МОДЕЛИРОВАНИЕ И ИСКУССТВЕННЫЙ ИНТЕЛЛЕКТ

■ SUPERCOMPUTER SIMULATIONS AND ARTIFICIAL INTELLIGENCE

■ САРОВ-24.05.2021

Универсальные вычислительные алгоритмы – основа создания новых быстродействующих вычислительных систем

В.Б.Бетелин, В.А.Галкин

Федеральный научный центр НИИ системных исследований РАН, Москва

Сургутский филиал Федерального научного центра НИИ системных
исследований
РАН, Сургут



Работа выполнена в рамках государственного задания ФГУ ФНЦ НИИСИ РАН (Проведение фундаментальных научных исследований (47 ГП) по теме № 0065-2019-0007 «36.20 Развитие методов математического моделирования распределенных систем и соответствующих методов вычисления»
(№ АААА-А19-119011590093-3).

- Разработка универсальных вычислительно однородных алгоритмов, адаптированных для целочисленных операций
- **Цель:**
- Тестирование работоспособности и быстродействия алгоритмов в целочисленной среде
- Создание нового поколения вычислительных систем

- Анализ уязвимостей в атомно–энергетическом комплексе, на предприятиях ТЭК нефтегазового комплекса, реакторах АПЛ и т.д., указывает на наиболее чувствительную и критическую часть этих систем – насосное оборудование. Поэтому огромное значение имеет библиотека точных нестационарных решений уравнений гидродинамики в условиях сложной геометрии.
- **Одним из важнейших вопросов построения симуляторов ЯЭУ является получение точной динамики несжимаемой жидкости в пористой среде. Более того, эта библиотека может служить основой малоразмерных кусочных аппроксимаций течений аналогично сплайнам, позволяя существенно снизить вычислительную нагрузку за счет использования грубых сеток с прецизионными решениями в межсеточном пространстве.**

Одним из важнейших вопросов построения симуляторов ЯЭУ является получение точной динамики несжимаемой жидкости в пористой среде

(Этот класс задач включает в себя также моделирование течения жидкого теплоносителя в системах ЯЭУ при образовании шлаков в системах охлаждения аналогично процессу образования тромбов в сердечно-сосудистой системе, либо движению нефти в матрице нефтеносной залежи во многофазной среде и т.п.)

Традиционные подходы к решению таких задач опираются на сеточные, проекционные методы, которые весьма **затратны** с точки зрения их реализации на вычислительной технике. В конечном счете, гонку в этой области деятельности определяют размерность вычислительных сеток, что неумолимо диктует гонку в области суперкомпьютерных технологий. При этом возможность верификации проектных расчетов крайне ограничена и вызывает существенные сомнения в их применимости в широком диапазоне параметров течения.



Специфика задач

- Значительное количество существенных физических факторов:

гидродинамика, трение, теплоперенос, фазовые переходы, электрические и магнитные явления, химические реакции

- Переменная во времени, сложная геометрия расчетной области,

зависящая от физических процессов



Проблемы

- ▶ Неявное изменение вычислительных алгоритмов при обмене данными между процессорами
- ▶ Большие массивы данных при использовании традиционных сеточных методов аппроксимации задач и не контролируемое накопление ошибок
- ▶ «Узость» множества тестовых примеров, используемых для обоснования применимости приближенных методов, реализуемых на «больших задачах»



Необходимость создания системы верификации вычислительных методов и новых вычислительных технологий для прикладных задач

- ▶ **ПРИМЕР: Сложность технологии «Цифровые недра» сопоставима с задачами атомного проекта;**
- ▶ **Нет ясной перспективы у простого наращивания производительности вычислительных систем без анализа моделей и методов для классов решаемых задач;**



Возможные пути решения задач

- ▶ Создание сеточно-аналитической вычислительной технологии (сочетание грубых сеток с локально-аналитическими решениями);
- ▶ Сочетание разреженных сеток с кинетическими методами решения;
- ▶ Анализ математических моделей.
- ▶ Создание 3-D библиотеки аналитических тестов для верификации вычислительных методов и комплексов программ в задачах вычислительной гидродинамики и физической кинетики

Течение жидкости в пористой среде

- Исследования течения жидкостей в пористых твердых матрицах играют важную роль в задачах добычи нефти и газа, неоднородного катализа, управления водными ресурсами, в производстве стиральных порошков и т. д.

Динамика на сложных многообразиях пористой среды

Математически эта проблема напрямую связана с поведением решений для систем **законов сохранения** квазилинейных уравнений

$$\frac{\partial u_\beta(x, t)}{\partial t} + \sum_{j=1}^n \frac{\partial F_j^{(\beta)}}{\partial x_j} = 0, \quad x \in \mathbb{R}_n, \quad t > 0, \quad \beta \in C. \quad (1)$$

Здесь заданные нелинейные функции $F_j^{(\beta)}$ определяют локальную связность в среде. Анализ глобальной геометрии в «пористой среде» напрямую связан со структурой особенностей решений уравнения (1). Основное описание приведенного выше основано на так называемой теории функциональных решений в алгебраически сопряженном пространстве с оснащенной топологией А.Н.Тихонова

Рассматривается течение несжимаемой жидкости в открытой пространственной области $\{\mathbf{x}\} \in D(t) \subset \mathbb{R}_n$ с границей $\partial D(t)$, где t – время. Условие несжимаемости жидкости предполагает неизменность объема $D(t)$. Предполагается, что в указанной области жидкость имеет постоянную плотность $\rho > 0$, а ее динамика задается полем скоростей $\mathbf{u} = \{u_i(\mathbf{x}, t)\}_1^n$ и давлением $p(\mathbf{x}, t)$, которые подчиняются уравнениям Навье–Стокса и закону сохранения массы в эйлеровых координатах:

$$\frac{\partial u_i}{\partial t} + \sum_j u_j \frac{\partial u_i}{\partial x_j} + \rho^{-1} \frac{\partial p}{\partial x_i} = \operatorname{div}(\varepsilon \operatorname{grad} u_i) + \rho^{-1} F_i, \quad (1)$$

$$\operatorname{div} \mathbf{u} = 0, \quad t > 0, \quad \mathbf{x} \in D(t),$$

где $\varepsilon = \eta \rho^{-1}$ – кинематическая вязкость жидкости, η – динамическая вязкость, $\mathbf{F}(\mathbf{x}, t) = \{F_i\}_1^n$ – плотность объемных сил. Ниже рассматривается случай, когда $\varepsilon = \operatorname{const} \geq 0$, $\mathbf{F}(\mathbf{x}, t) \equiv 0$, $\rho \equiv 1$.

Одним из важнейших вопросов построения kernового симулятора является получение точной динамики несжимаемой жидкости в пористой среде. Рассмотрим простейшую модель пористой среды, состоящую из дискретного набора точек – узлов сетки $\partial D(t) \subset \mathbb{R}_n$. В этом случае область течения $D(t) \equiv \mathbb{R}_n \setminus \partial D(t)$. На узлах сетки, являющихся границей области течения, потребуем выполнение условия прилипания

$$\mathbf{u}|_{\partial D(t)} = 0. \quad (2)$$

Для построения точных решений системы (1) с условиями прилипания (2) воспользуемся нетривиальными точными решениями (\mathbf{V}, Φ) задачи

$$[\mathbf{V}, \text{rot } \mathbf{V}] = \nabla \Phi, \quad \text{div } \mathbf{V} = 0, \quad (3)$$

где отысканию подлежат гладкий потенциал Φ и векторное поле \mathbf{V} на $D(t)$.

Модель пористой среды, состоящей из узлов плоской сетки

Рассмотрим модель пористой среды, состоящей из узлов плоской сетки в двумерном пространстве

$$\partial D(t) = \pi \times \mathbb{Z}_2 + 0.5 \times (\pi, \pi)$$

Точное решение:

$$\left\{ \begin{array}{l} \mathbf{u}(\mathbf{x}, t) = \exp(-\varepsilon\lambda t) \begin{pmatrix} \sin(\sqrt{\lambda}x_2) \\ \sin(\sqrt{\lambda}x_1) \end{pmatrix} \\ p(\mathbf{x}, t) = \exp(-2\varepsilon\lambda t) \cos(\sqrt{\lambda}x_2) \cos(\sqrt{\lambda}x_1) \end{array} \right.$$

$$\lambda > 0.$$

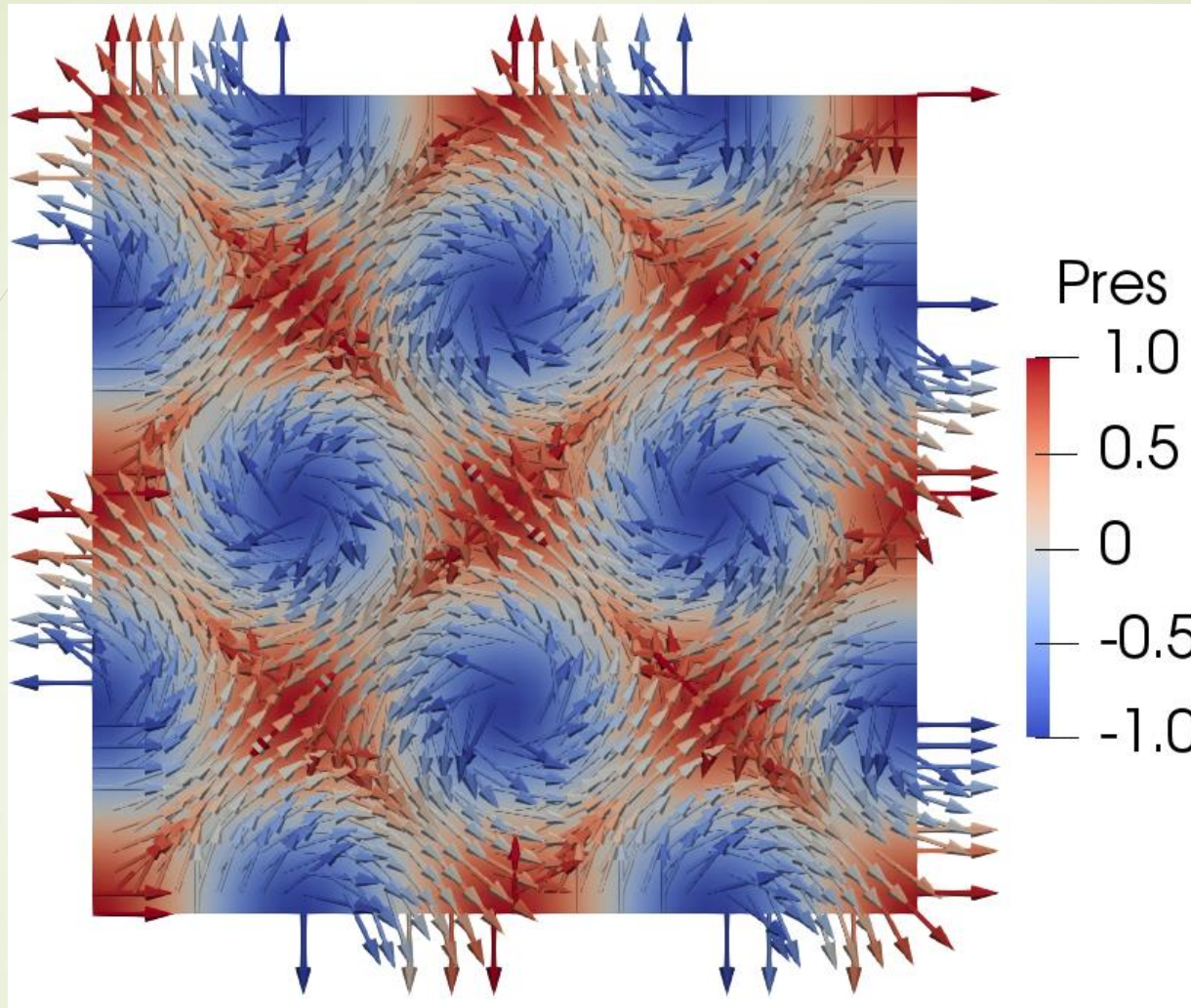


Рис. Структура течения

Изображено решение задачи в квадратной области при $\lambda=4$, в центре рисунка находится точка $O(0;0)$, $t \geq 0$.

Стрелки соответствуют направлению поля скорости.



Течение структурировалось на квадраты, внутри которых вращаются вихри с центрами, расположенными в узлах сетки, в которых скорость течения обращается в нуль.

На границах квадратов, расположенных в под углами и центрами на сетке, жидкость скользит по касательной.

Аналогичное структурирование течения проводящей жидкости наблюдалось при описании точного трехмерного решения системы уравнений магнитной гидродинамики с условием скольжения на границе параллелепипеда

Трёхмерное течение

Точное решение:

$$u(x, t) = \begin{pmatrix} \sin(x_2) - \cos(x_3) \\ \sin(x_3) - \cos(x_1) \\ \sin(x_1) - \cos(x_2) \end{pmatrix} \exp(-\varepsilon t), \quad p(x, t) = -\frac{1}{2}(u, u).$$

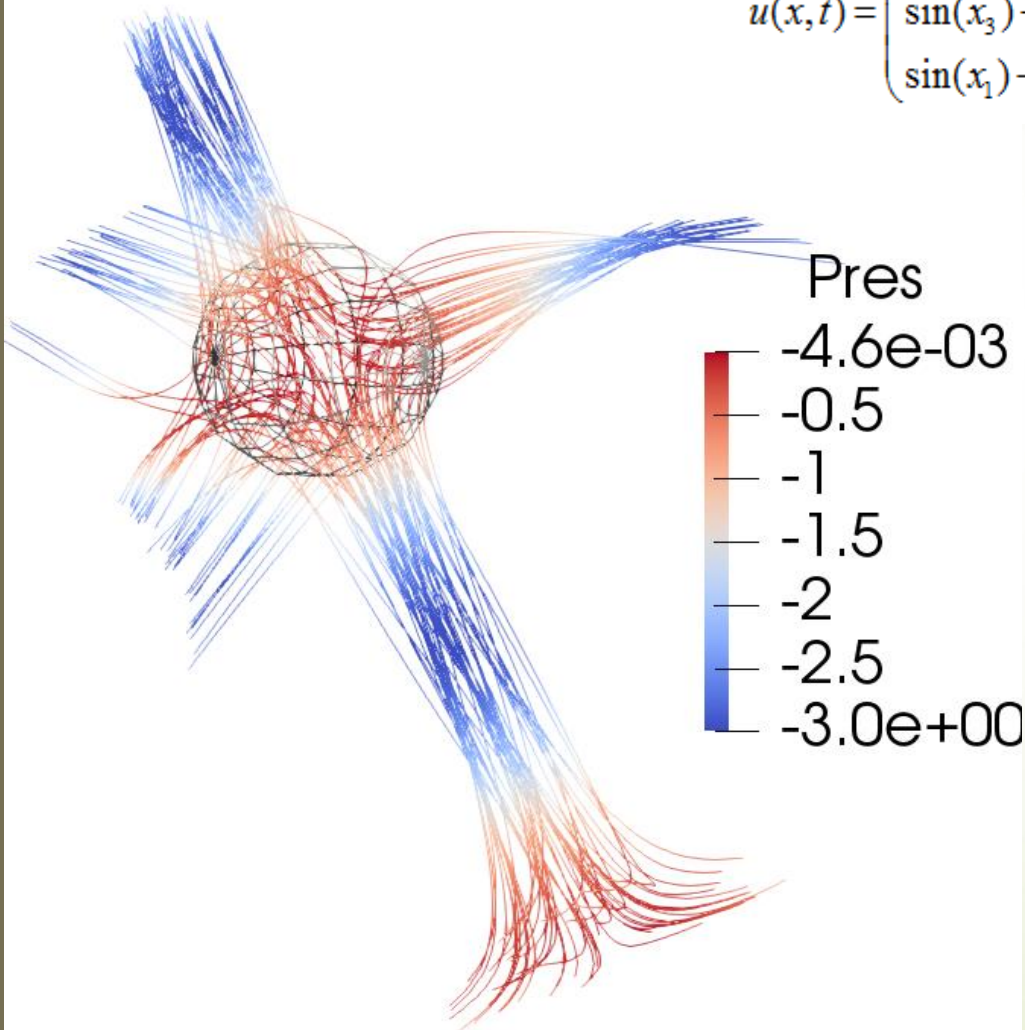
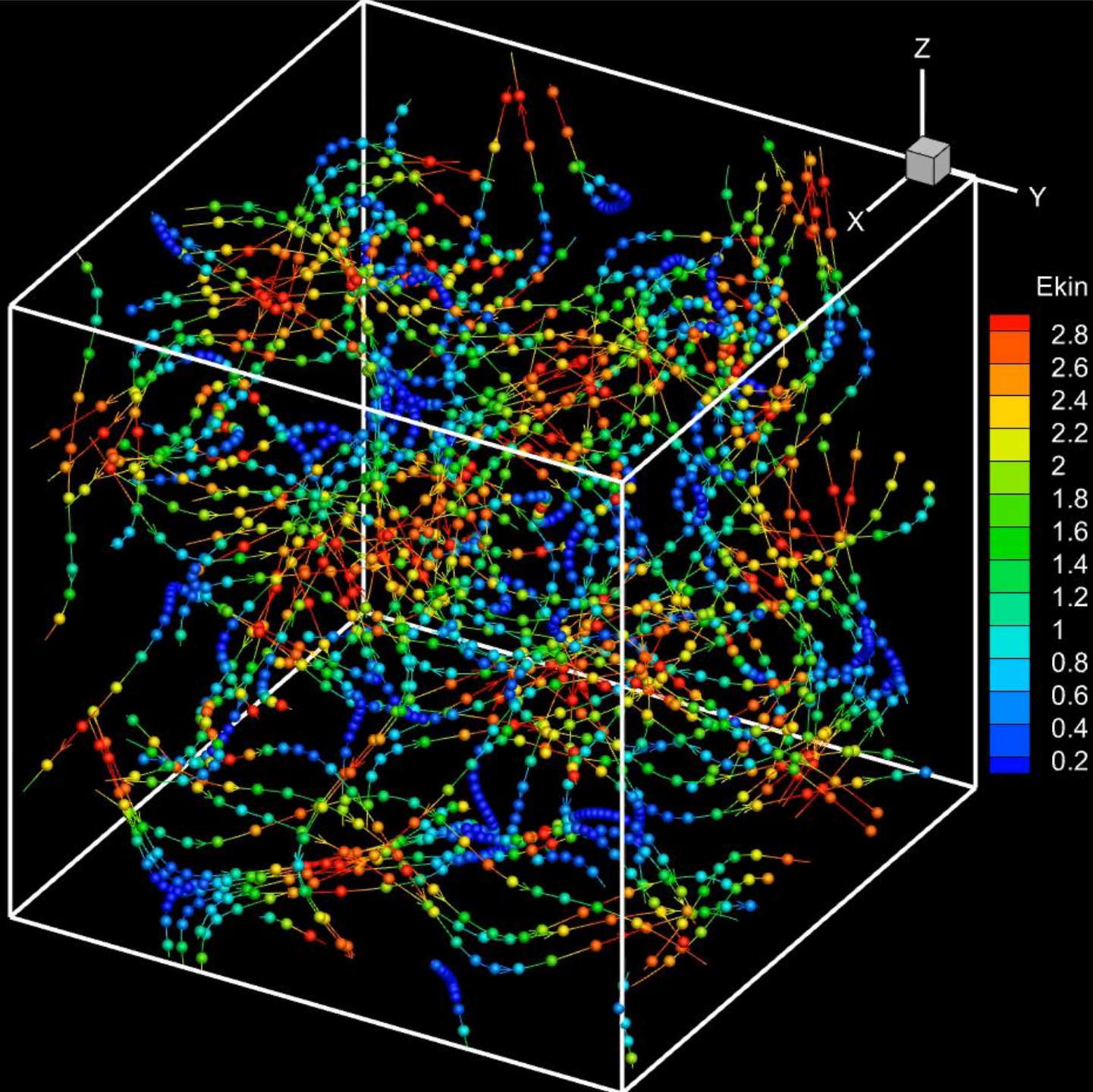


Рис.
иллюстрирует
линии тока в
точке
прилипания, где
поле давления
равно нулю.
Линии тока,
проходящие
через сферу
радиуса 1 с
центром в точке
 $x_1 = x_2 = x_3 = \pi/4$



Анимация линий тока на момент времени $t=0$

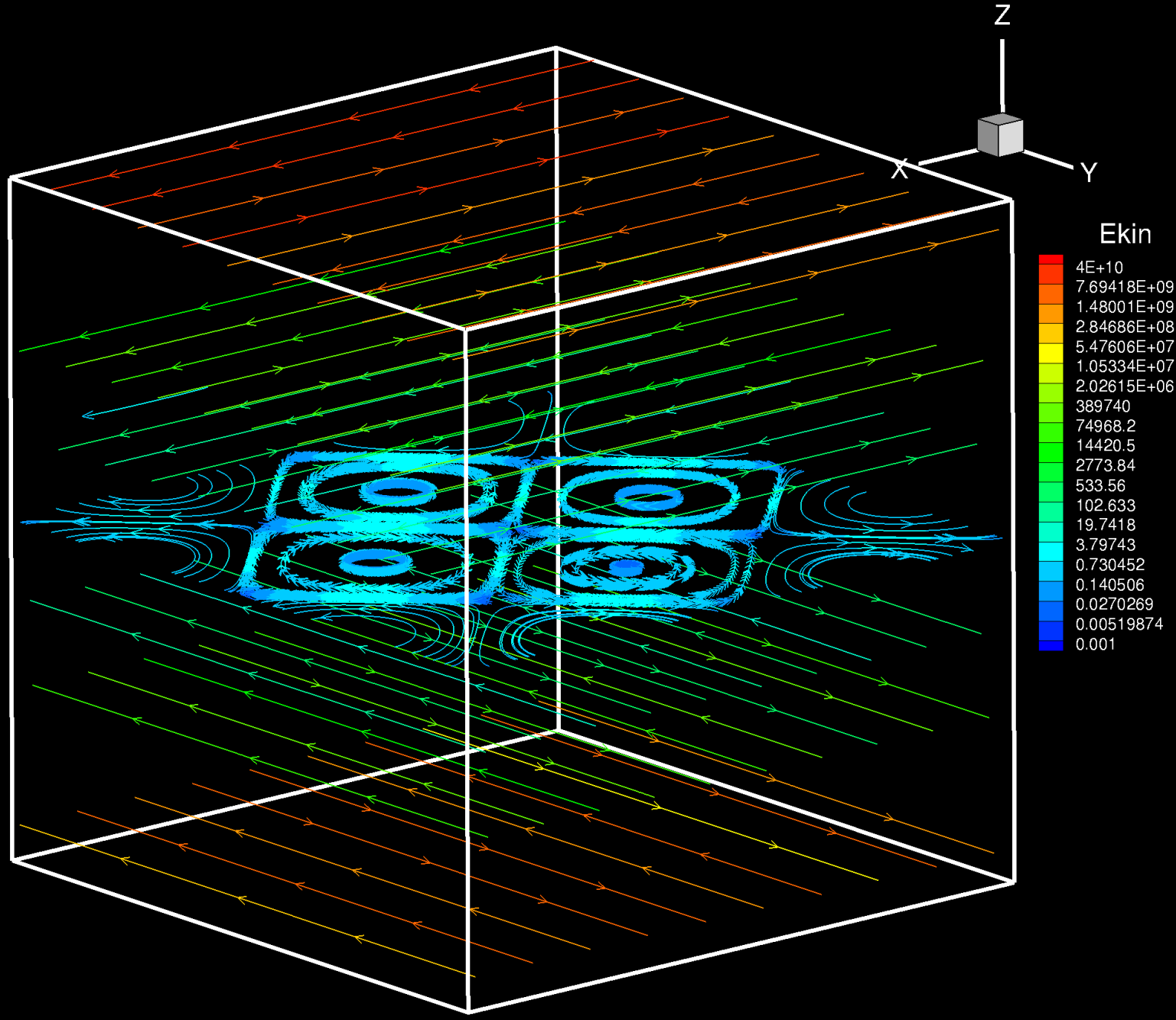
Пример визуализации точного решения уравнений трехмерной гидродинамики в пористой среде, состоящей из нитевидной сетки вертикальных препятствий

Препятствия расположены с периодом $\lambda > 0$ ортогонально к плоскости $x_3 = 0$. Предполагается, что на препятствиях выполнены условия прилипания. Семейство точных решений этих уравнений, включая поля температуры $T(x, t)$ и примеси $n(x, t)$, определяемых постоянными параметрами $\alpha, \beta, \chi, \lambda, \mu, \nu$ имеет следующий вид

$$V = \begin{pmatrix} \exp(\mu x_3) \sin \lambda x_2 \\ \exp(-\mu x_3) \sin \lambda x_1 \\ 0 \end{pmatrix} \exp((\mu^2 - \lambda^2) \nu t);$$

$$p = \exp(2\nu(\mu^2 - \lambda^2)t) \cos(\lambda x_1) \cos(\lambda x_2);$$

$$n = \exp((\mu^2 - \lambda^2)\chi t) (\exp(-\mu x_3) \cos(\lambda x_1) - \exp(\mu x_3) \cos(\lambda x_2)) + \exp(\mu^2 \chi t) [\alpha \exp(-\mu x_3) + \beta \exp(\mu x_3)].$$

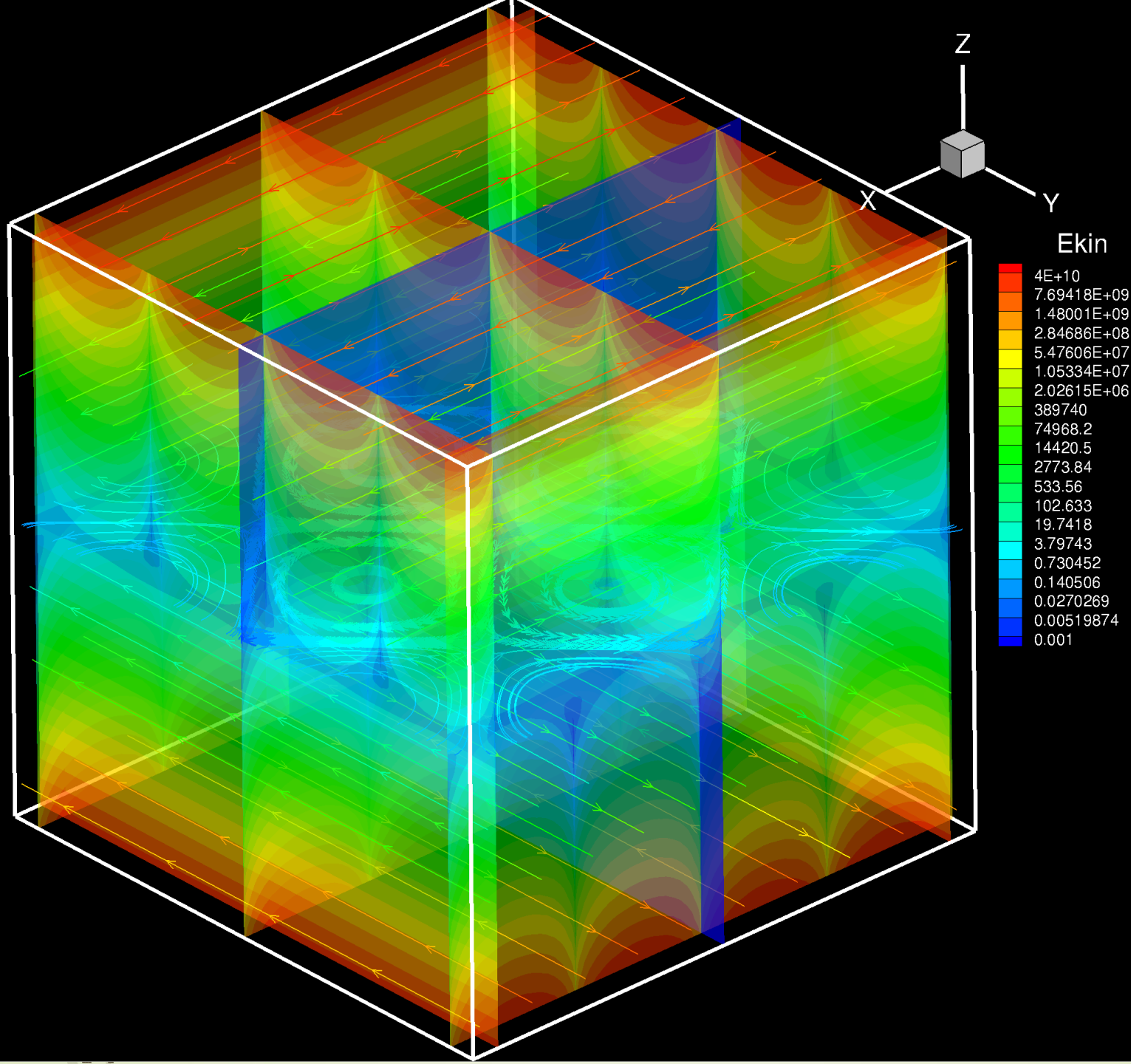


Визуализации точного решения (линии

тока)

$(0 < \lambda < \mu)$, time = 0; $\lambda = 1$; $\mu = 2$

$\alpha = 1$; $\beta = 1$; $\nu = 1$; $\chi = 1$.



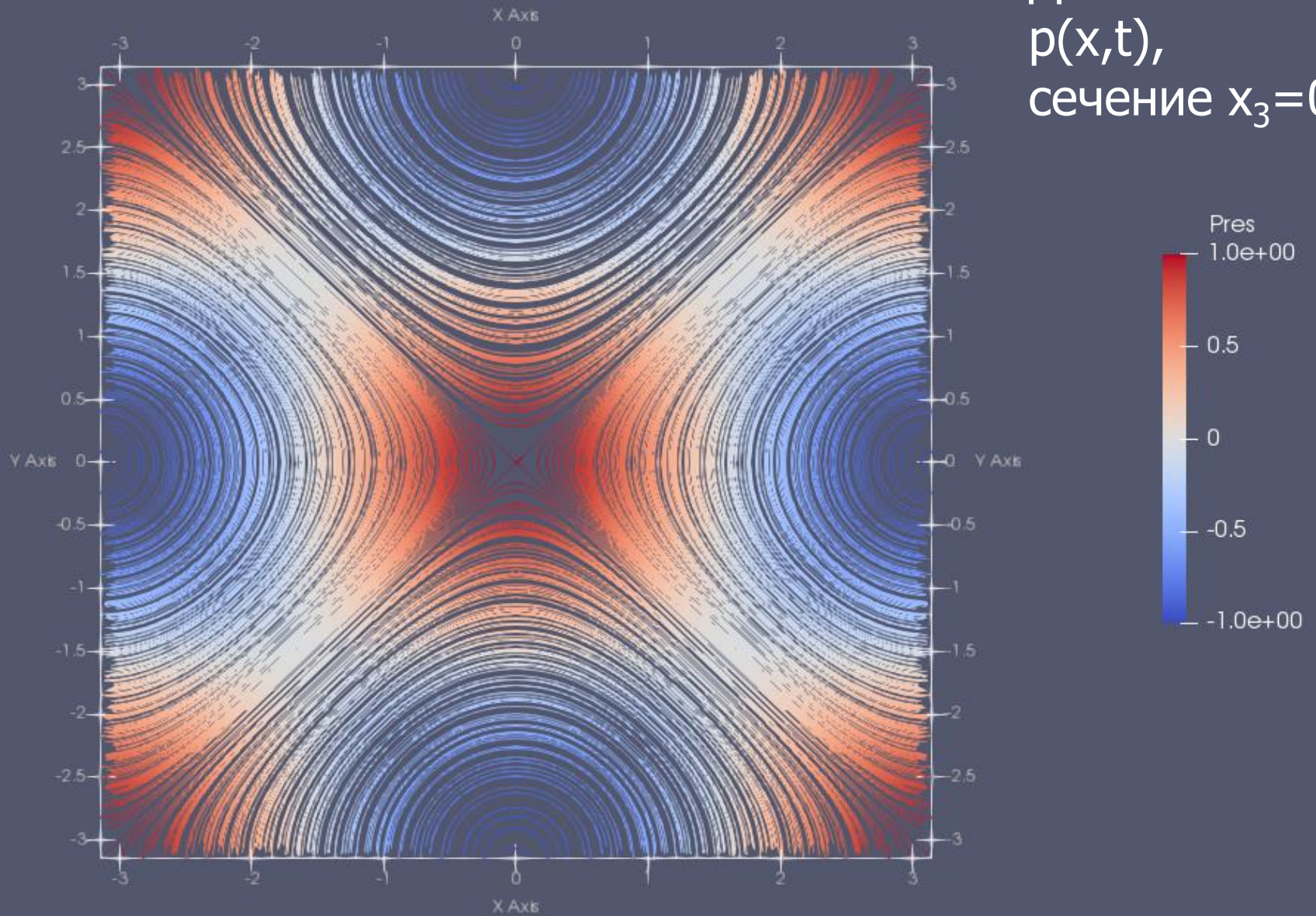
Визуализации точного решения (линии

тока)

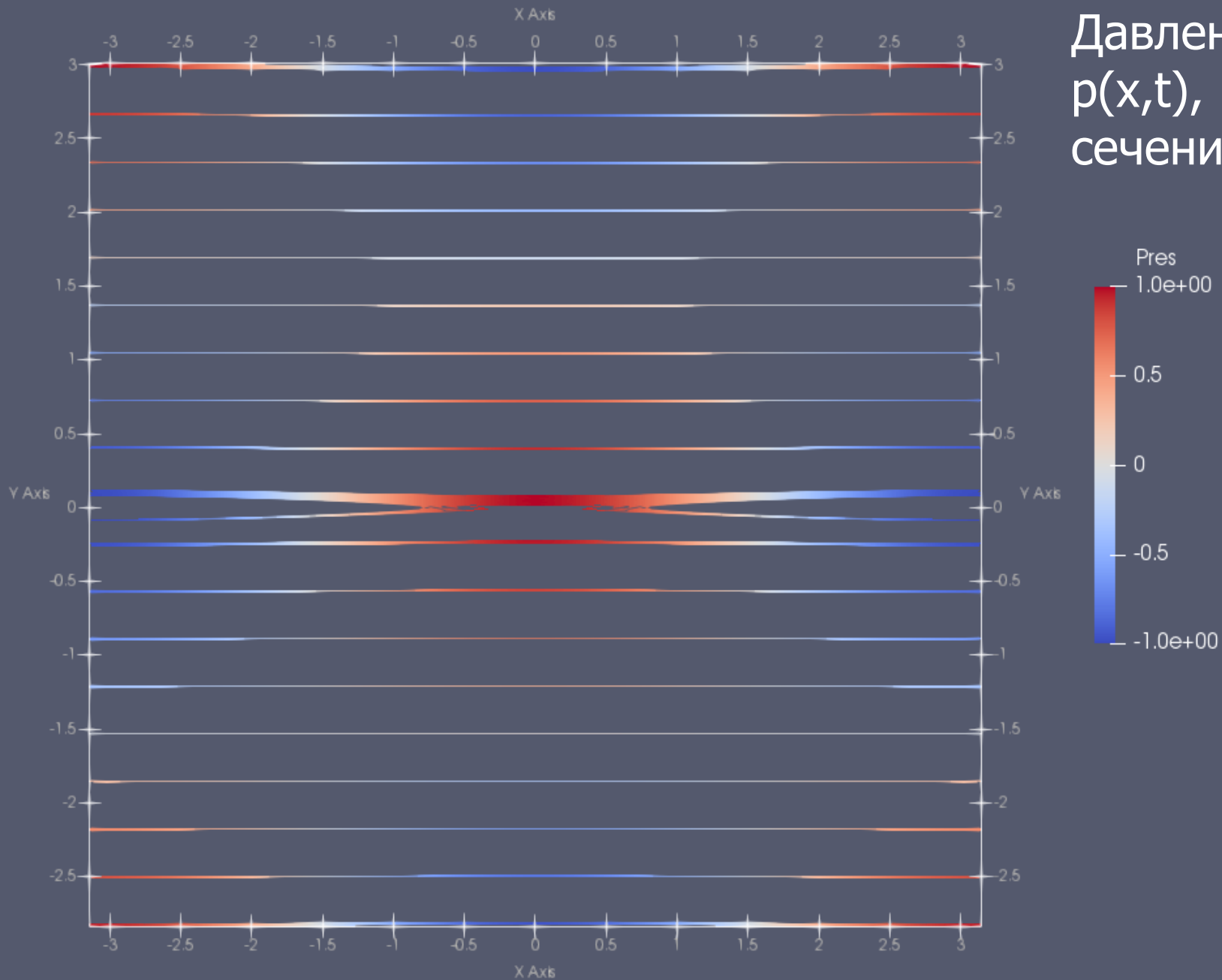
$(0 < \lambda < \mu)$, time = 0; $\lambda = 1$; $\mu = 2$

$\alpha = 1$; $\beta = 1$; $\nu = 1$; $\chi = 1$.

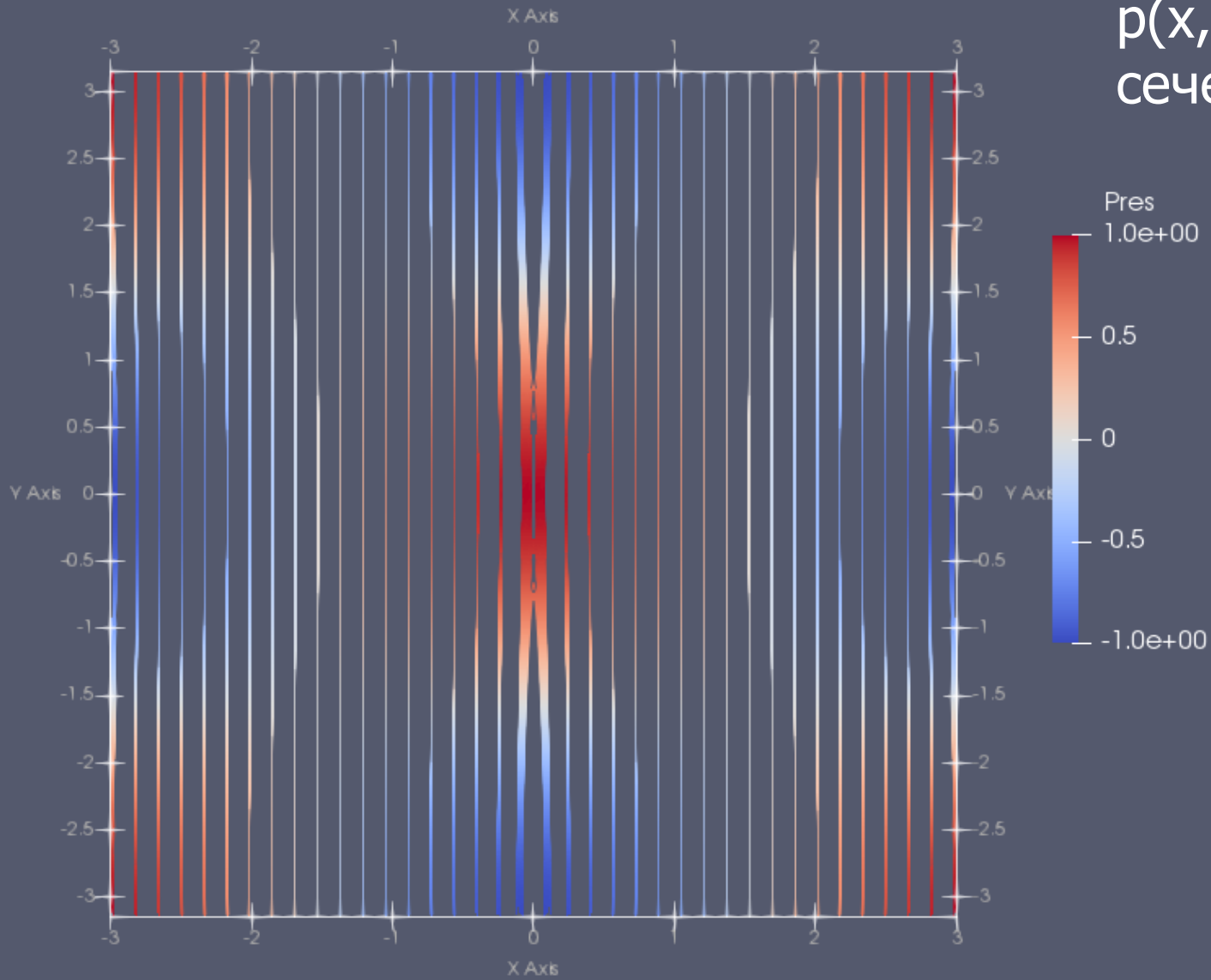
Давление
 $p(x,t)$,
сечение $x_3=0$



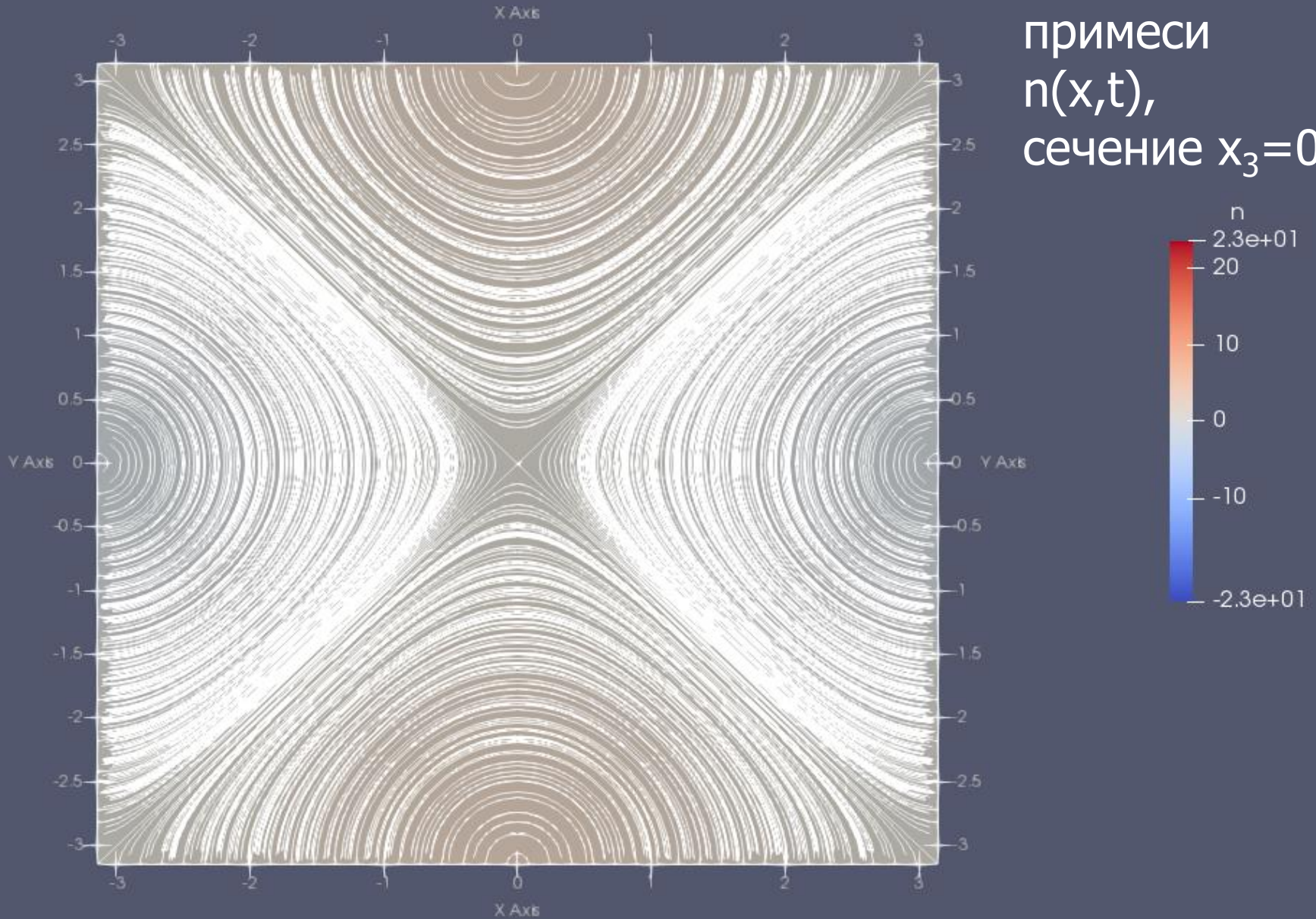
Давление
 $p(x,t)$,
сечение $x_3 > 0$

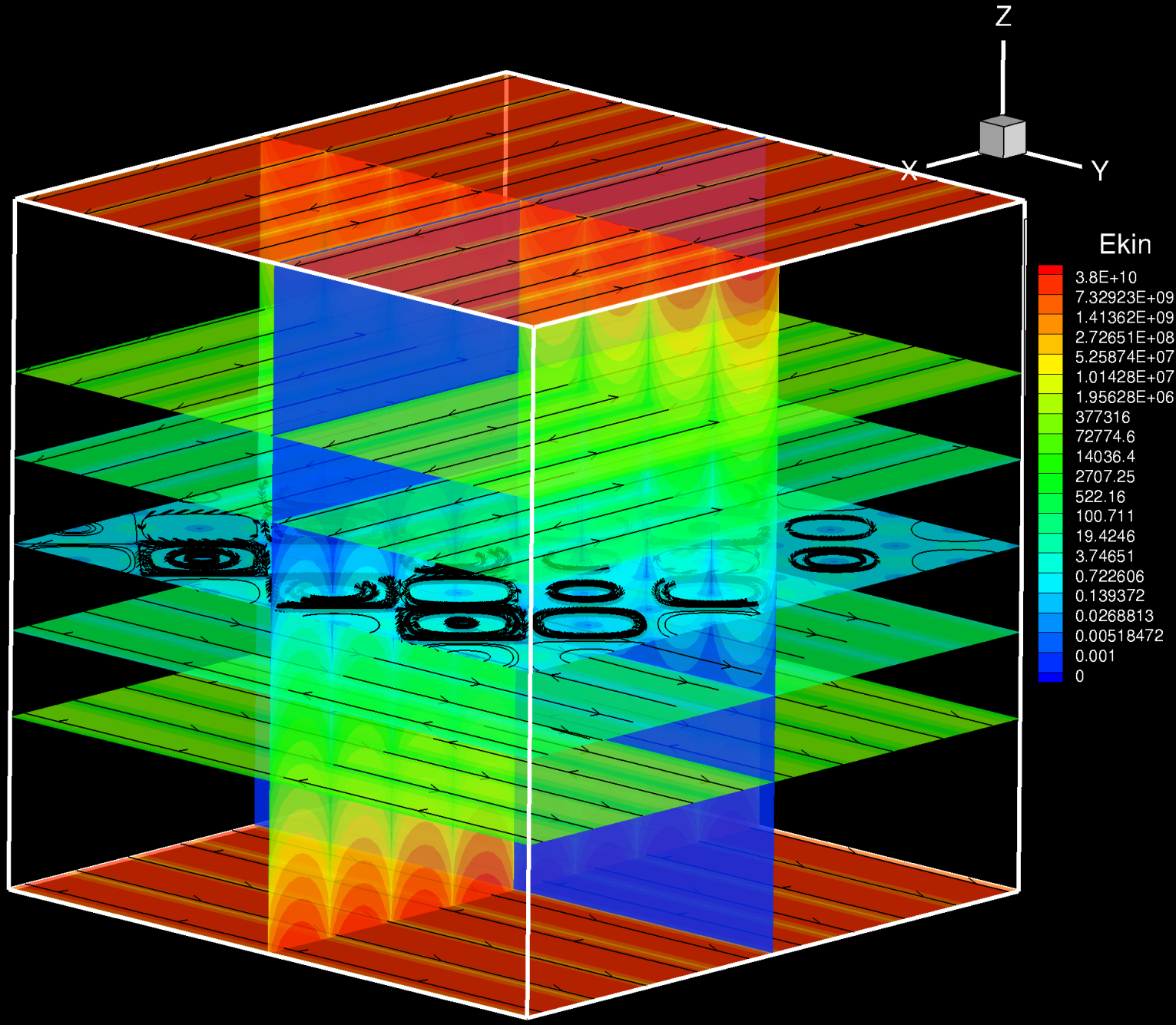


Давление
 $p(x,t)$,
сечение $x_3 < 0$



Концентрация
примеси
 $n(x,t)$,
сечение $x_3=0$





Визуализация точного решения (линии тока)

($\lambda = \mu$); time = 0; $\lambda = 2$; $\mu = 2$

$\alpha = 1$; $\beta = 1$; $\nu = 1$; $\chi = 1$.

Система уравнений магнитной гидродинамики

Для практических задач существенно построение точных решений для задач, основанных на системе МГД (магнитной гидродинамики) с учетом динамики примесей в потоке (очевидно, что при отсутствии магнитного поля эта система переходит в систему уравнений Навье-Стокса для несжимаемой жидкости). При этом важно иметь примеры точных решений для течений в пористых структурах.

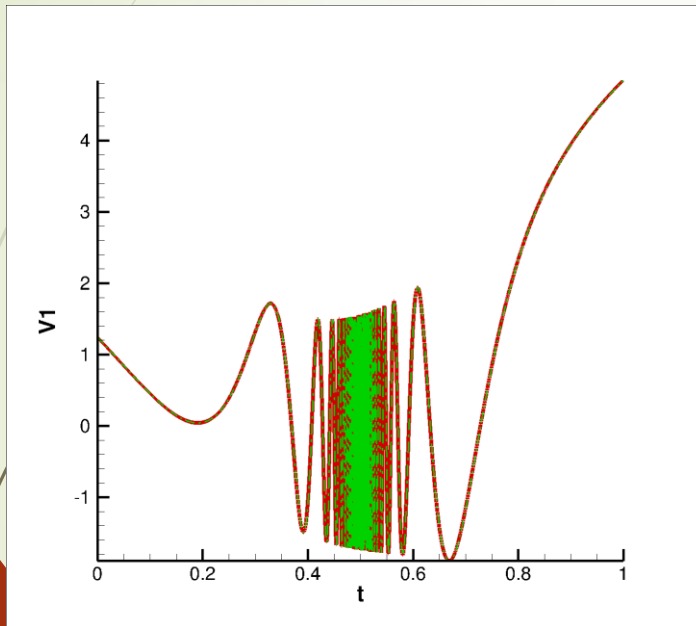
Система уравнений МГД :

$$\left\{ \begin{array}{l} \frac{\partial \mathbf{u}}{\partial t} + (\mathbf{u} \cdot \nabla) \mathbf{u} + \nabla p = \frac{1}{4\pi} \text{rot } \mathbf{B} \times \mathbf{B} + \alpha \Delta \mathbf{u}, \\ \text{div } \mathbf{u} = 0, \\ \text{div } \mathbf{B} = 0, \\ \frac{\partial \mathbf{B}}{\partial t} - \text{rot} [\mathbf{u} \times \mathbf{B}] = \beta \Delta \mathbf{B}, \\ \frac{\partial n}{\partial t} + (\mathbf{u} \cdot \nabla) n = \sigma \Delta n. \end{array} \right.$$

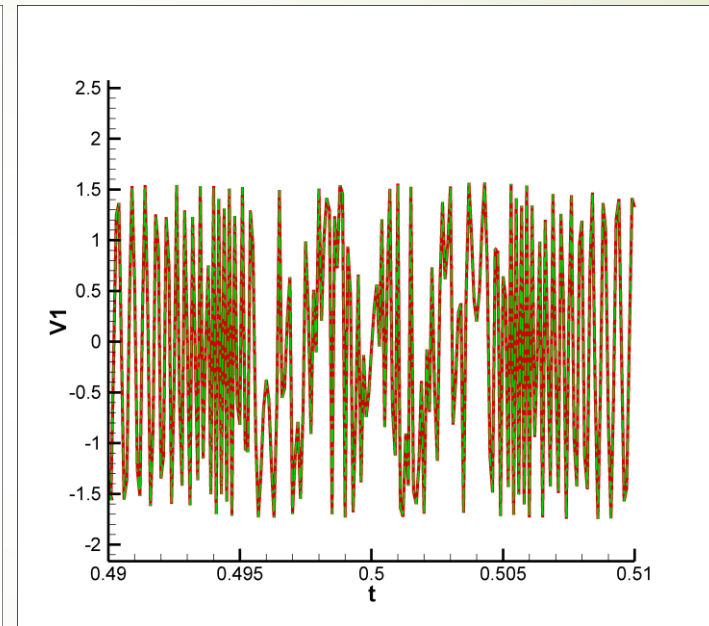
\mathbf{u} – гидродинамическая скорость течения
 \mathbf{B} – магнитная индукция
 p – давление
 n – концентрация примеси

Тест 2

Результаты



а) $t \in [0; 1]$



б) $t \in [0.49; 0.51]$

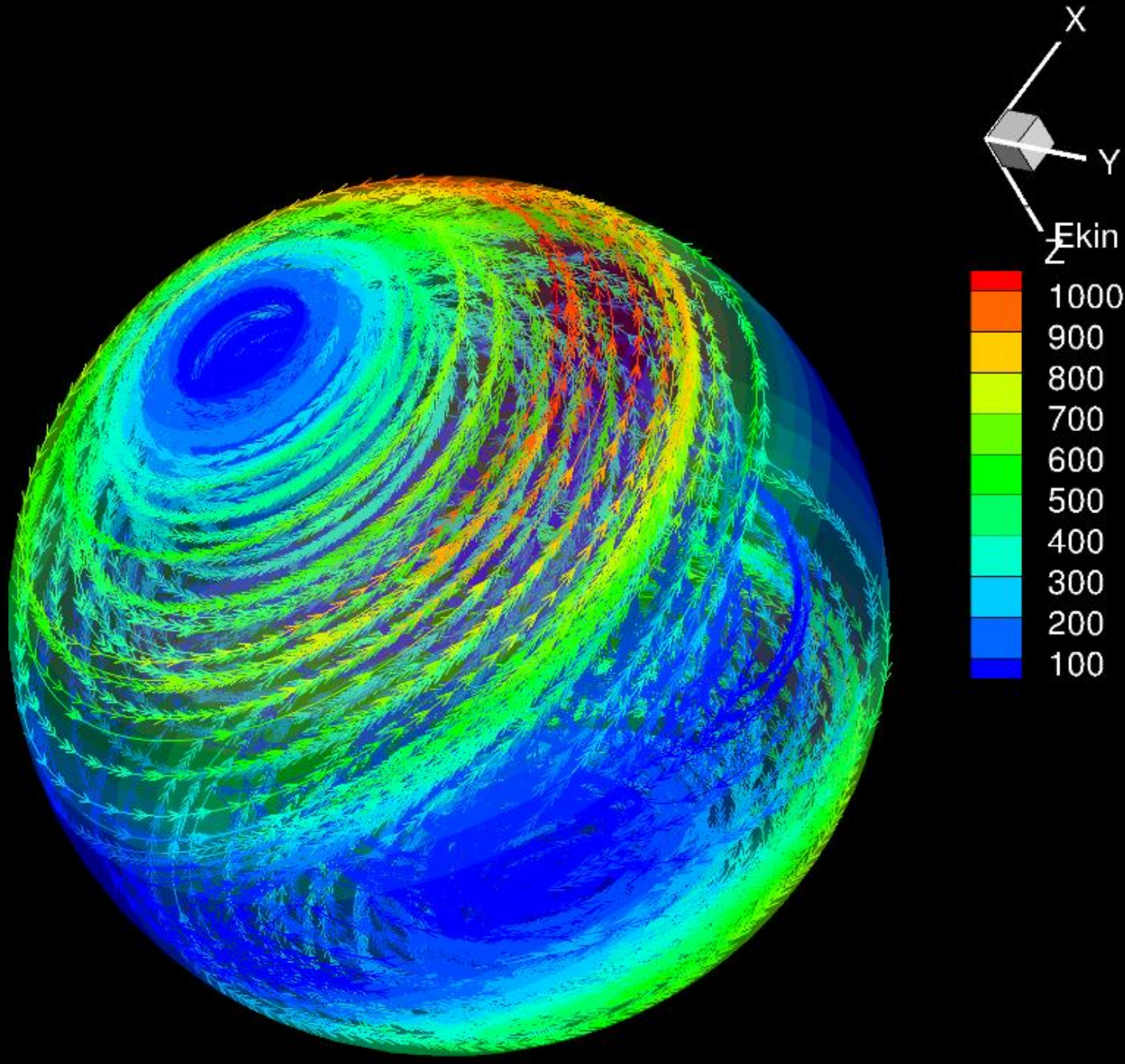
Рис. 6. Зависимость первой компоненты скорости от времени. Аналитическое решение V – красные сплошные линии. Численное решение U - зеленые штрих-пунктирные линии

Тест 1 (МГД)

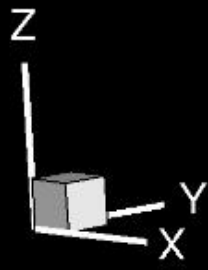
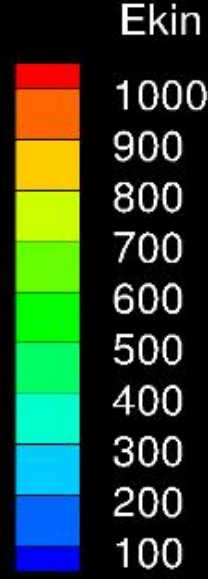
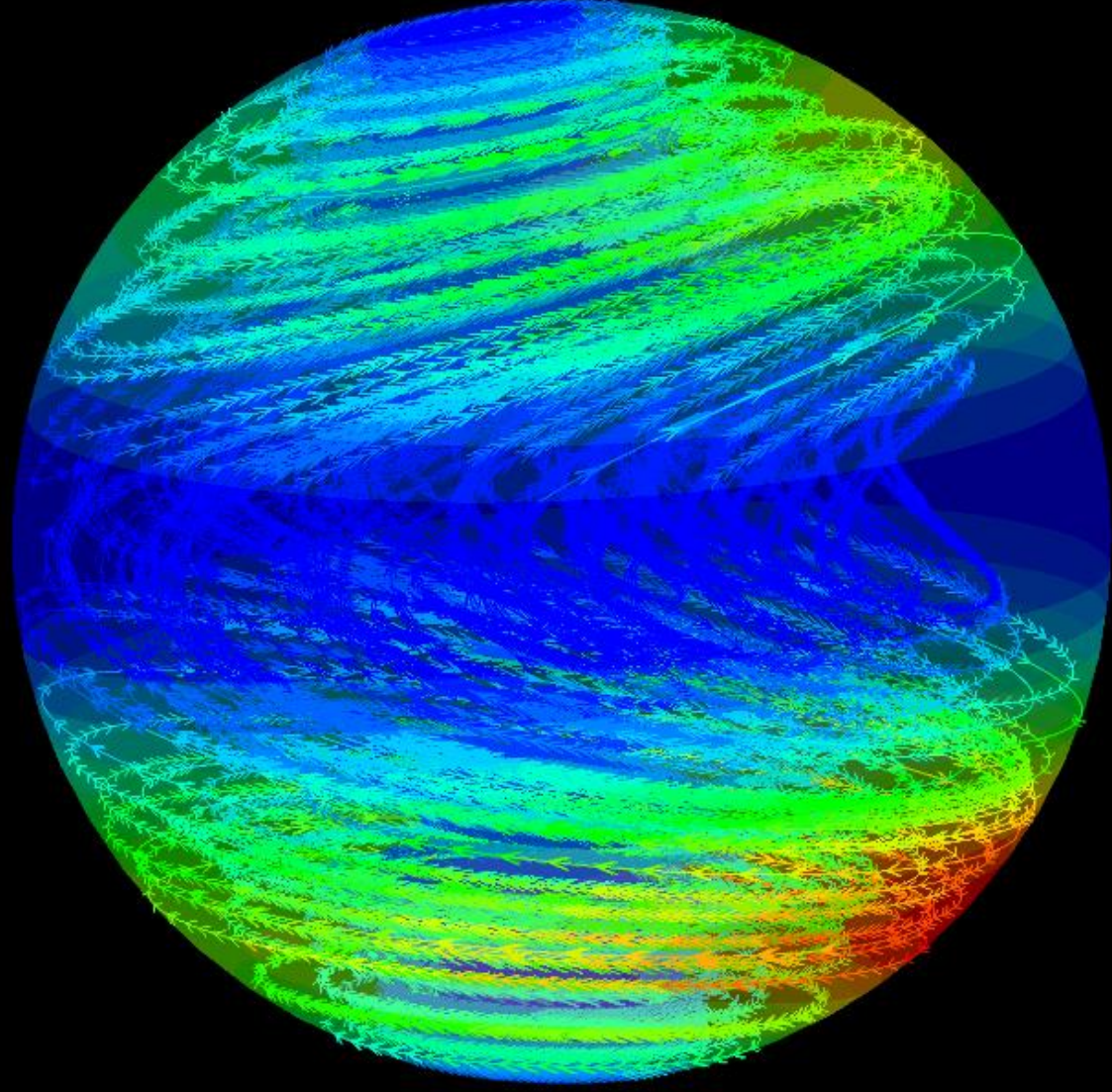
Аналитическое решение

$$\begin{aligned} P = & -\frac{1}{2}V^2 + \left(x_1 + x_3 - e^t \left(\sin 3t + (t - 0.5)^2 \sin \frac{1}{|t - 0.5| + \varepsilon} \right) \right) \cos(x_2 - e^t \sin 2t) \left[(t - 0.5)(t + 1.5) \sin \frac{1}{|t - 0.5| + \varepsilon} \right. \\ & \left. - \operatorname{sgn}(t - 0.5) \left(\frac{t - 0.5}{|t - 0.5| + \varepsilon} \right)^2 \cos \frac{1}{|t - 0.5| + \varepsilon} \right] \\ & + (\sin 3t + 3 \cos 3t) \sin(x_2 - e^t \sin 2t) \left(x_1 + x_3 - e^t \left(\sin 3t + (t - 0.5)^2 \sin \frac{1}{|t - 0.5| + \varepsilon} \right) \right) \\ & + x_1 \left\{ -e^t \sin \frac{1}{|t - 0.5| + \varepsilon} \left(t^2 + 3t + \frac{1}{4} \right) + 2e^t \operatorname{sgn}(t - 0.5) \frac{1}{(|t - 0.5| + \varepsilon)^2} \cos \frac{1}{|t - 0.5| + \varepsilon} \left(t^2 - \frac{1}{4} + \varepsilon \frac{t - 0.5}{|t - 0.5| + \varepsilon} \right) \right. \\ & \left. + e^t \left(\frac{t - 0.5}{|t - 0.5| + \varepsilon} \right)^2 \left(2\delta(t - 0.5) \cos \frac{1}{|t - 0.5| + \varepsilon} + \sin \frac{1}{|t - 0.5| + \varepsilon} \frac{1}{(|t - 0.5| + \varepsilon)^2} \right) \right\} \\ & + \sin \left(x_1 - e^t (t - 0.5)^2 \sin \frac{1}{|t - 0.5| + \varepsilon} \right) \left[(t - 0.5)(t + 1.5) \sin \frac{1}{|t - 0.5| + \varepsilon} - \operatorname{sgn}(t - 0.5) \left(\frac{t - 0.5}{|t - 0.5| + \varepsilon} \right)^2 \cos \frac{1}{|t - 0.5| + \varepsilon} \right. \\ & \left. + (\sin 3t + 3 \cos 3t)(x_2 + x_3 - e^t(\sin 2t + \sin 3t)) \right] \\ & + \cos \left(x_1 - e^t (t - 0.5)^2 \sin \frac{1}{|t - 0.5| + \varepsilon} \right) \left[(t - 0.5)(t + 1.5) \sin \frac{1}{|t - 0.5| + \varepsilon} - \operatorname{sgn}(t - 0.5) \left(\frac{t - 0.5}{|t - 0.5| + \varepsilon} \right)^2 \cos \frac{1}{|t - 0.5| + \varepsilon} \right. \\ & \left. - (\sin 2t + 2 \cos 2t)(x_2 + x_3 - e^t(\sin 2t + \sin 3t)) \right] - x_2 e^t (-3 \sin 2t + 4 \cos 2t) \\ & + (\sin 2t + 2 \cos 2t)(\cos(x_2 - e^t \sin 2t) - \sin(x_2 - e^t \sin 2t)) - x_3 e^t (6 \cos 3t - 8 \sin 3t) \\ & + (\sin(x_3 - e^t \sin 3t) + \cos(x_3 - e^t \sin 3t)) \left((t - 0.5)(t + 1.5) \sin \frac{1}{|t - 0.5| + \varepsilon} \right. \\ & \left. - \operatorname{sgn}(t - 0.5) \left(\frac{t - 0.5}{|t - 0.5| + \varepsilon} \right)^2 \cos \frac{1}{|t - 0.5| + \varepsilon} \right) - (\sin 2t + 2 \cos 2t)(\sin(x_3 - e^t \sin 3t) - \cos(x_3 - e^t \sin 3t)) \end{aligned}$$

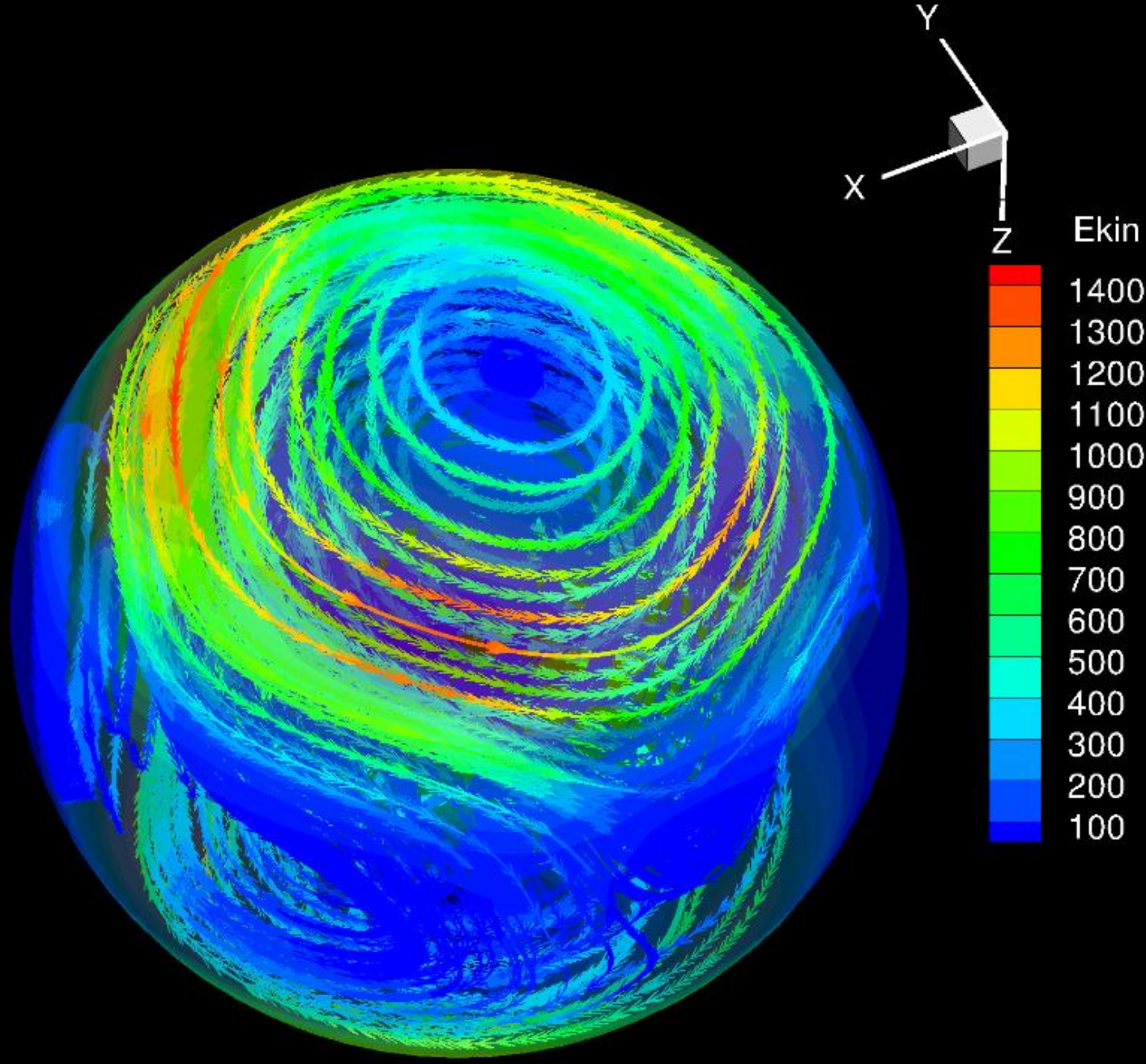
Визуализация 3-D точного решения системы МГД в различных ракурсах на шаре (гидродинамическое поле и магнитное поле являются касательными на поверхности сферы – «Глаза Юпитера»)



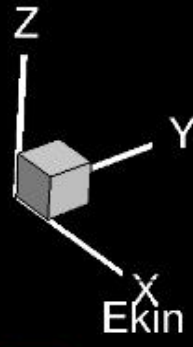
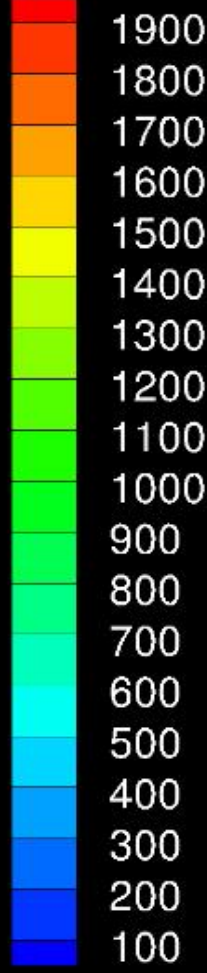
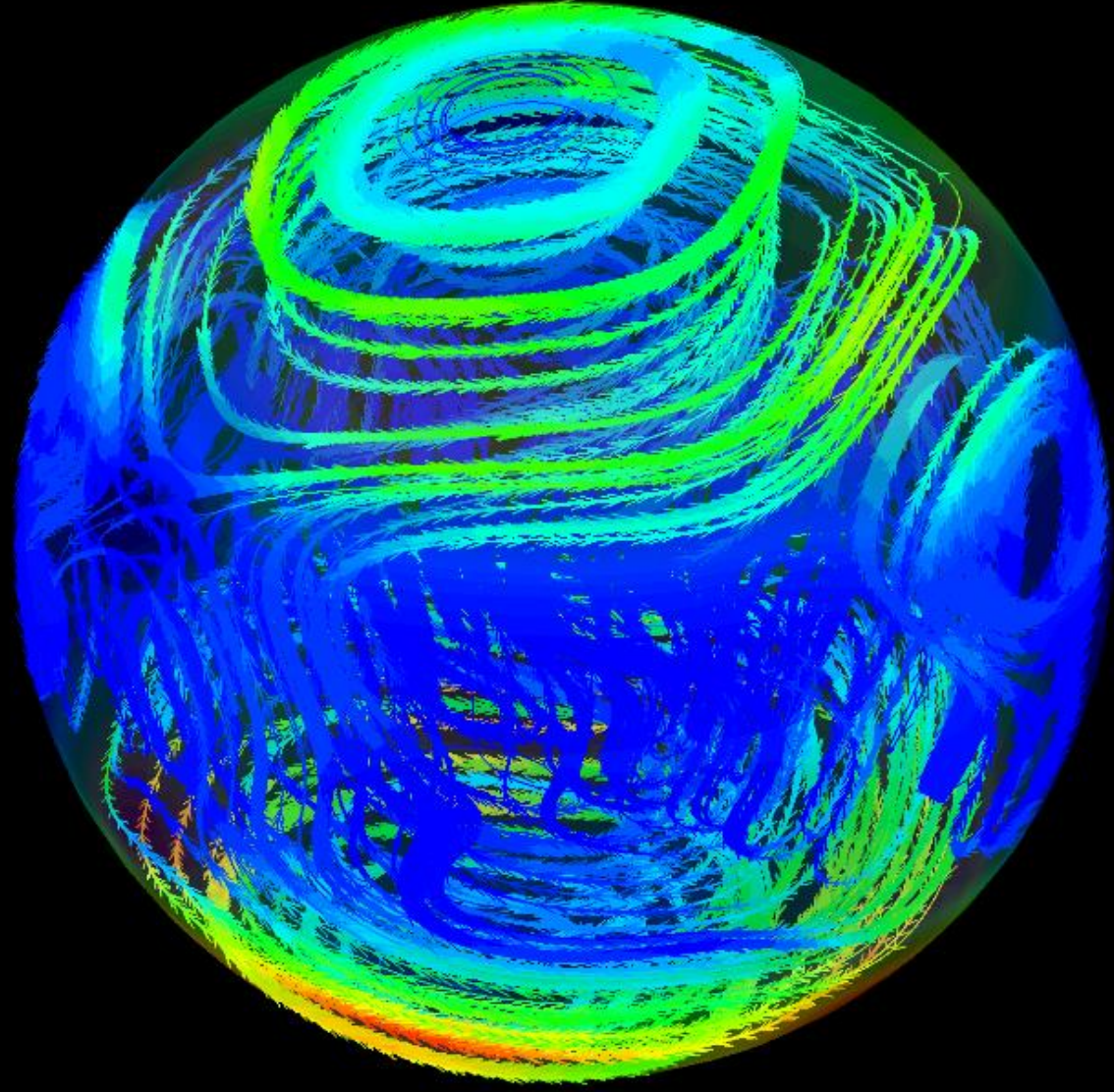
Визуализация 3-D точного решения системы МГД в различных ракурсах на шаре (гидродинамическое поле и магнитное поле являются касательными на поверхности сферы – «Глаза Юпитера»)



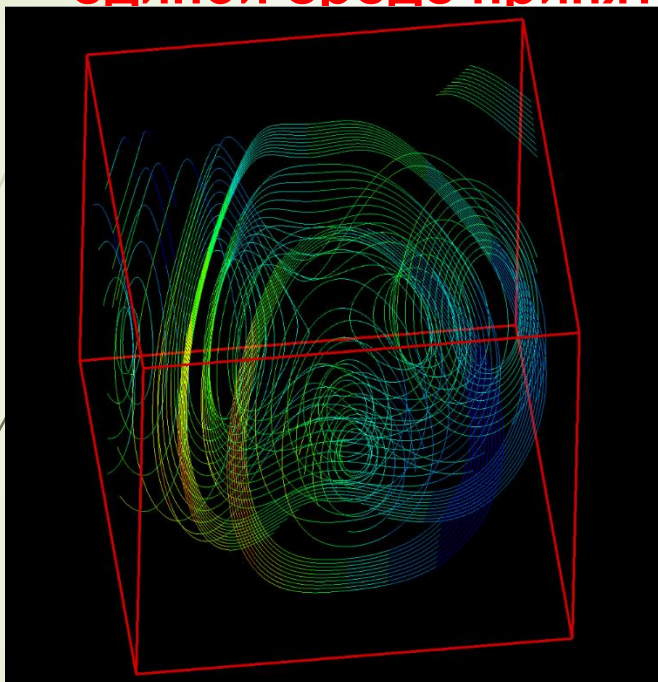
Визуализация 3-D точного решения системы МГД в различных ракурсах на шаре (гидродинамическое поле и магнитное поле являются касательными на поверхности сферы – «Глаза Юпитера»)



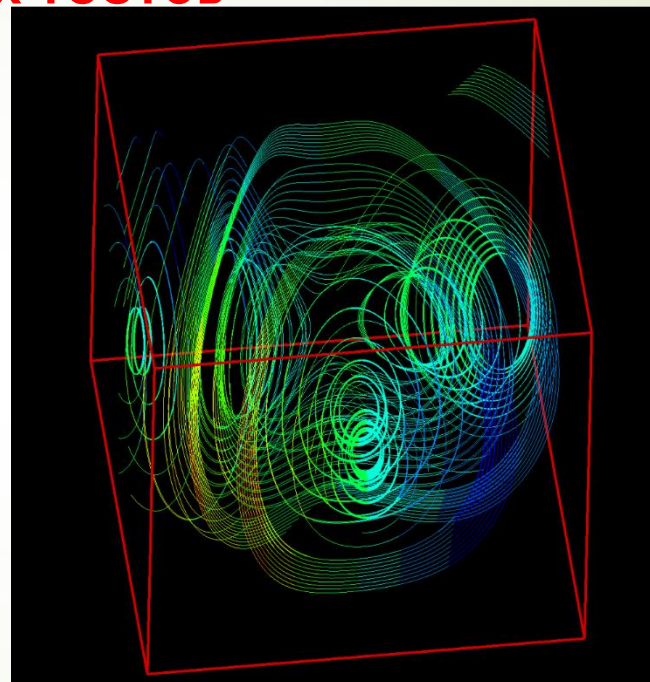
Визуализация 3-D точного решения системы МГД в различных ракурсах на шаре (гидродинамическое поле и магнитное поле являются касательными на поверхности сферы – «Глаза Юпитера»)



**Создание отечественной библиотеки
верификации вычислительных моделей в
единой среде принятых тестов**



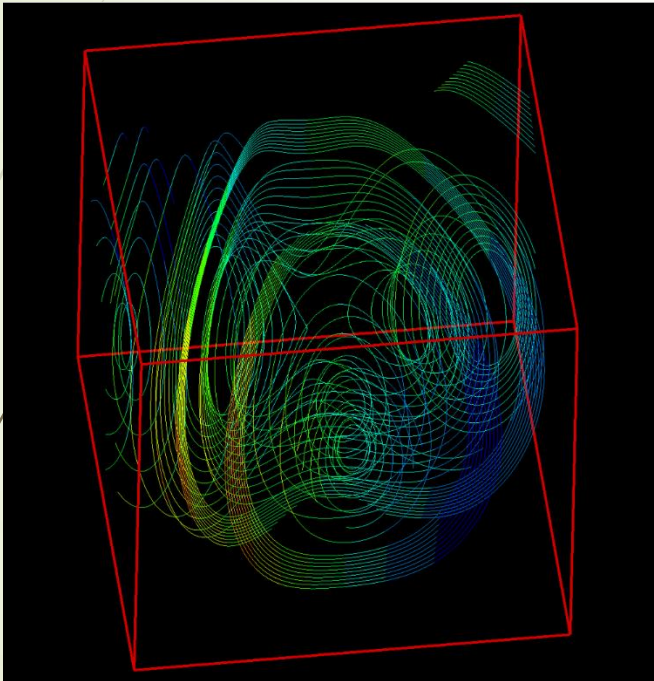
а) Аналитическое решение



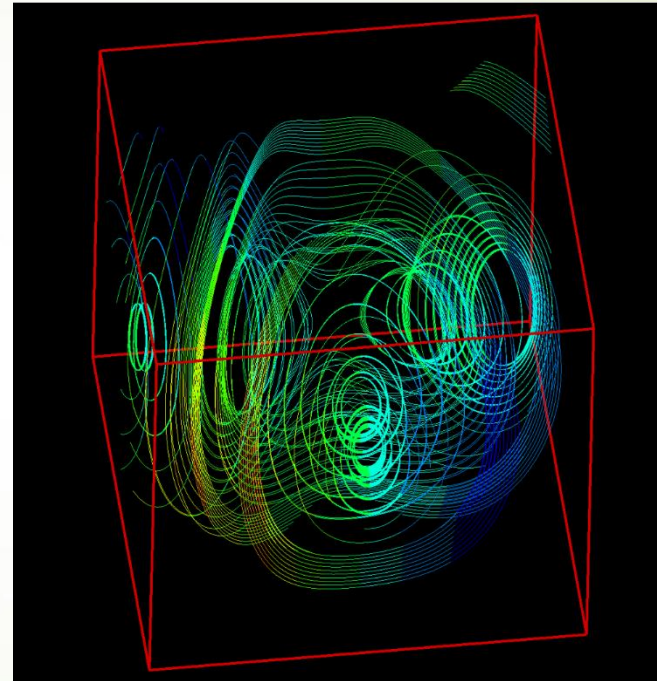
б) Численное решение

**Рис. Силовые линии индукции
магнитного поля**

МГД-управление-3D течением



а) Аналитическое решение



б) Численное решение



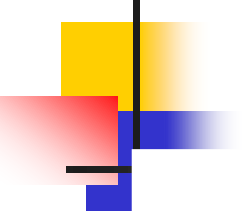
Необходимость создания отечественных вычислительно- однородных быстродействующих систем на простой алгоритмической и элементной базе

- 1) Разработка вычислительных алгоритмов, **одинаковых** для широкого класса задач.
- 2) Их реализация на отечественных вычислительных системах, защищенных от программных атак.
- 3) Обеспечение неограниченного наращивания однородной вычислительной среды.



Разработка и обоснование несеточных методов

- **Кинетический метод решения дифференциальных уравнений.**



Классы решаемых ОДУ

На кубе $\Omega_n = \prod_{k=1}^n [0, 1] \subset \mathbb{R}_n$ рассматривается система обыкновенных дифференциальных уравнений

$$\frac{du}{dt} = f(u, t), \quad t > 0, \quad u \in \Omega_n, \quad (1)$$

где правая часть $f = \{f_i\}_{i=1}^n$ такова, что во внутренних точках куба Ω_n функции f_i являются многочленами по переменным $u = \{u_k\}_{k=1}^n$

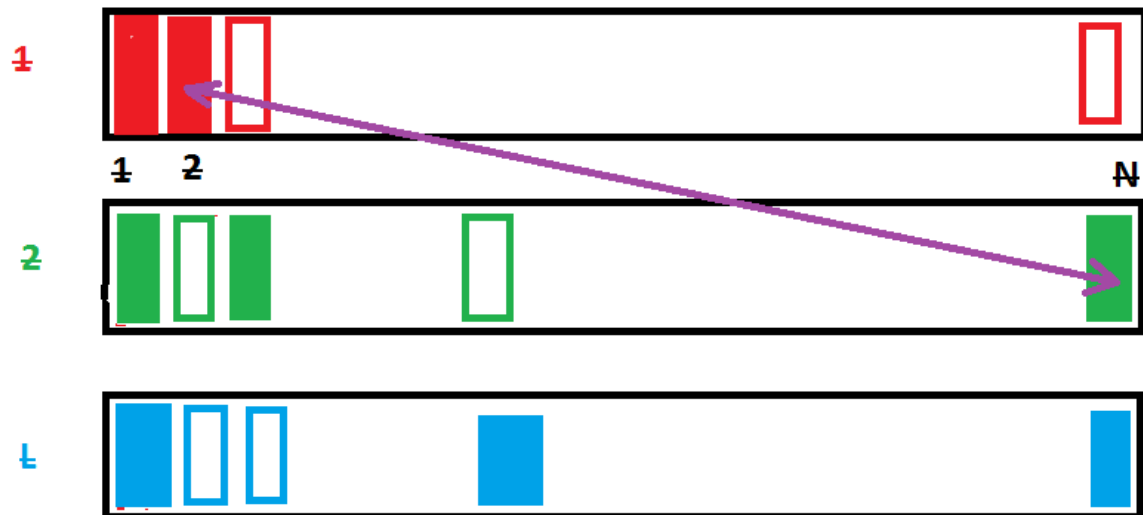
$$f_l(u, t) = \sum_{p \geq 0} \alpha_{p_1, p_2, \dots, p_n}^{(l)}(t) u_1^{p_1} u_2^{p_2} \dots u_n^{p_n}, \quad (2)$$

$$p = p_1 + p_2 + \dots + p_n, \quad p_l \in \mathbb{Z}^+, \quad u_k^0 \stackrel{\text{def}}{=} 1,$$

с измеримыми локально ограниченными коэффициентами $\alpha_{p_1, p_2, \dots, p_n}^{(l)}$ при значениях времени $t \geq 0$.

Кинетический процесс

- Сопоставим системе (1) кинетический процесс, основанный на взаимодействиях различных видов частиц, где количество видов совпадает с размерностью системы (1).





Правила взаимодействия

Если заданная величина

$\alpha_{p_1, p_2, \dots, p_n}^{(l)}(t_j) > 0$, то для $\xi^{(l)}(t_j)$ допускается рождение одной частицы в ячейке D_l . Аналогично отрицательным значениям этой величины сопоставляется гибель одной частицы в D_l . Акты рождения и гибели для $\xi^{(l)}(t_j)$ разыгрываем заданием независимых случайных величин $\eta^{(l)}(t_j)$, принимающих значение 1 с условной вероятностью $|\alpha_{p_1, p_2, \dots, p_n}^{(l)}(t_j)| N\tau \leq 1$, и значение 0 с дополнительной вероятностью. Для нулевых значений $\eta^{(l)}$ взаимодействие выбранных частиц исключается.

Подготовка целочисленных данных

Числа заполнения ячейки частицами вида L

$$N^{(l)}(t_j) \stackrel{\text{def}}{=} \sum_{i=1}^N \delta_{1, m_i^{(l)}(t_j)}.$$

- (для «положительных» частиц)

$$u_N^{(l)}(t_j) \stackrel{\text{def}}{=} \frac{\langle N^{(l)}(t_j) \rangle}{N}$$

- Знакопеременные решения определяются заполнением частицами «+1» и «-1». N – общее число частиц - масштабируется для регулировки уровня «срезки» приближения

Теорема 1. Пусть $\alpha_{p_1, p_2, \dots, p_n}^{(l)}(t)$ являются измеримыми локально ограниченными функциями при $t \geq 0$. Тогда средние концентрации $u_N^{(l)}(t_j)$ подчиняются разностному уравнению

$$u_N^{(l)}(t_{j+1}) = u_N^{(l)}(t_j) + \tau f_l(u_N^{(\bullet)}(t_j), t_j) + \tau O(N^{-1}), \quad N \geq 1,$$

где оценка $O(N^{-1})$ является равномерной относительно t_j .

Следствие. Пусть выполнены условия теоремы 1 и существует $\lim_{N \rightarrow \infty} u_N^{(l)}(0)$. Тогда при каждом $t_j \geq 0$ существует $\lim_{N \rightarrow \infty} u_N^{(l)}(t_j) = u_l^{(l)}(t_j)$, подчиняющийся разностному уравнению

$$u^{(l)}(t_{j+1}) = u^{(l)}(t_j) + \tau f_l(u^{(\bullet)}(t_j), t_j), \quad (4)$$

Теорема 2. Пусть $\alpha_{p_1, p_2, \dots, p_n}^{(l)}(t)$ являются измеримыми локально ограниченными функциями при $t \geq 0$ и существует $\lim_{N \rightarrow \infty} u_N^{(l)}(0) = u_l(0)$, где $\{u_l\}_{l=1}^n$ — решение системы (1). Тогда для последовательности средних концентраций (3) справедливо соотношение

$$\max_{0 \leq j \leq [T/\tau(N)]} \left| u_l(t_j) - u_N^{(l)}(t_j) \right| \rightarrow 0, \quad N \rightarrow \infty, \quad \forall l,$$

для каждого $T \geq 0$.

Пример расчета для многочленов 5-й степени
(белый график - одна история $L=2$ $N=10^3$), $T=6$.
Красный график- разностная схема Эйлера
 $\tau=10^{-5}$.

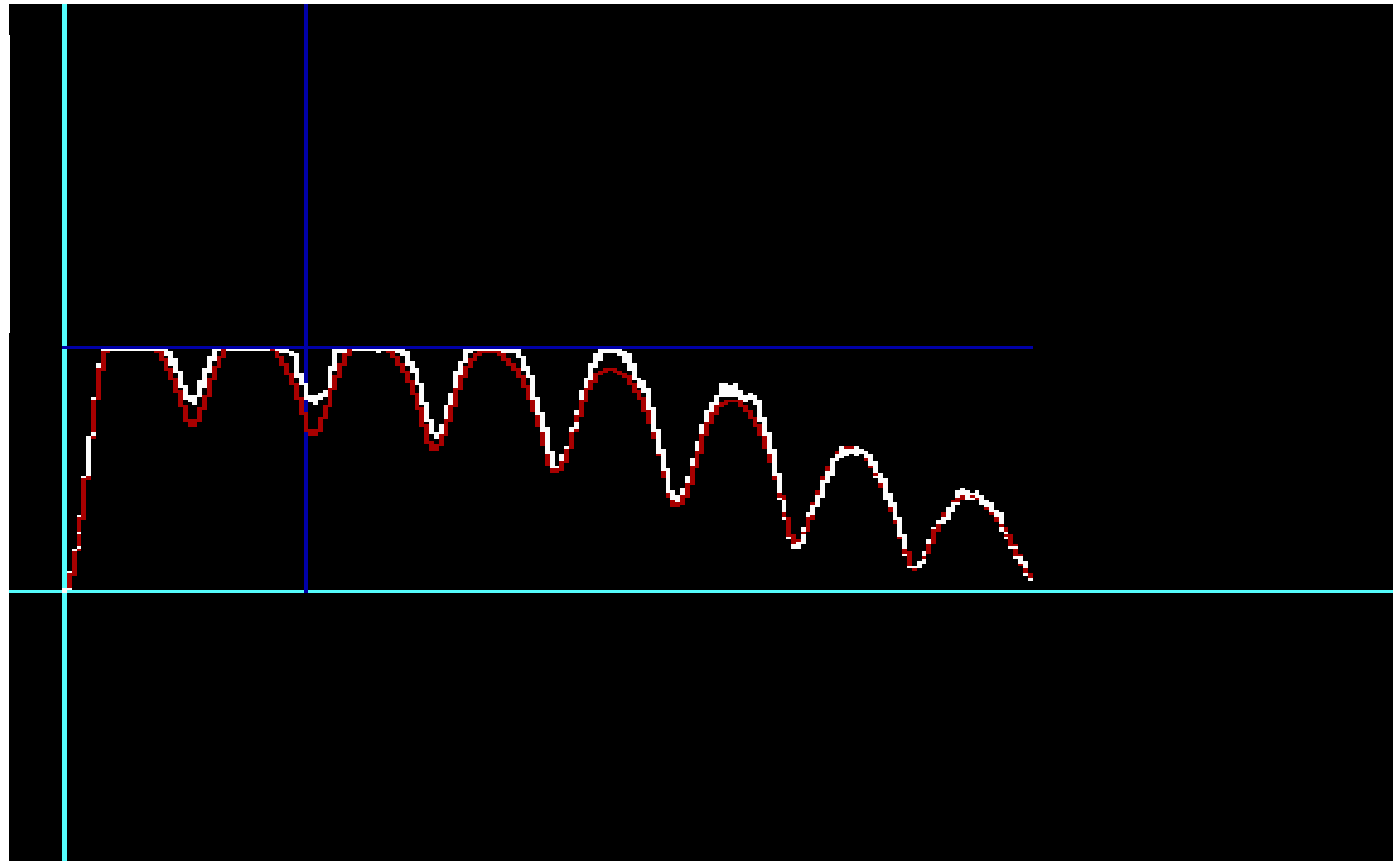
$$\frac{du}{dt} = 16 * \sin(2\pi t) + 1 - u - u^2 - 2u^3 - 5u^5 - 4u^4,$$

if $0 \leq u \leq 1$, else 0, or 1

$0 < t \leq 4$,

if $u \geq 1$ then $u := 1$;

if $u \leq 0$ then $u := 1$;

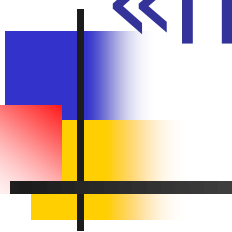




Иерархический метод

- Описание динамики сложных систем предполагает наличие в ней статистически большого количества элементов. Моделирование таких систем основывается на использовании законов сохранения, которые формулируются либо на уровне динамики отдельных частиц, либо в терминах средних величин, задающих распределение элементов системы в пространстве состояний.

Иерархическая модель «принятия решений»



Рассматривается иерархическая система, в которой на каждом уровне рождаются и уничтожаются «документы» по указанию с вышележащего уровня

Модель переходов

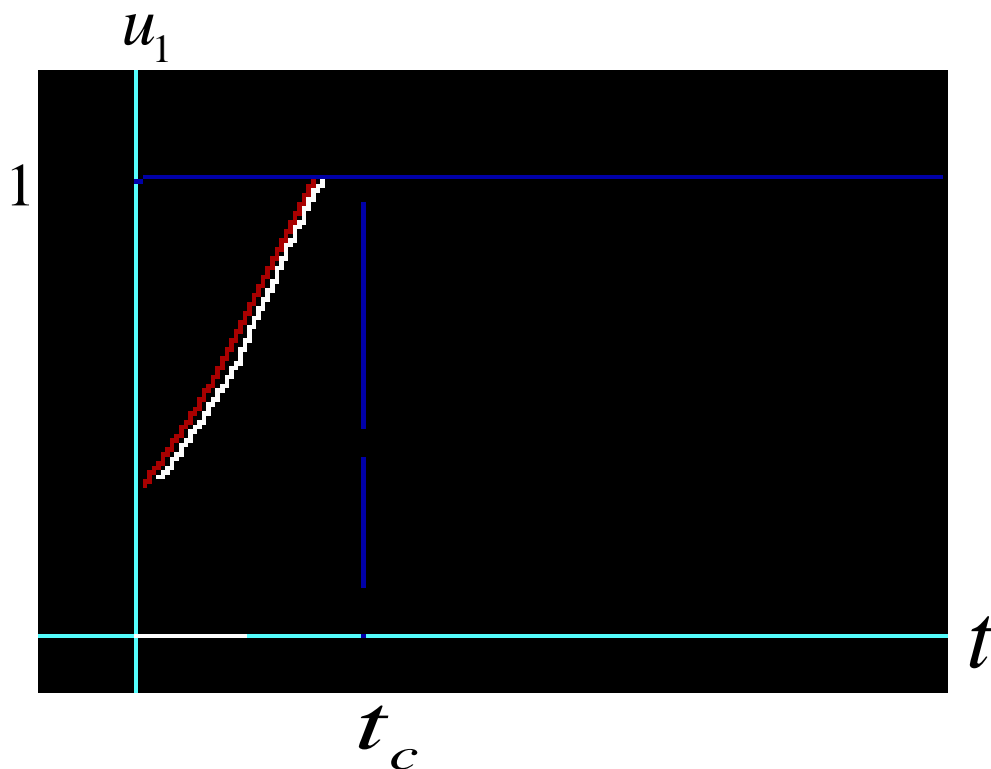
- На каждом уровне находится не более N объектов
- Объект на уровне $i+1$ порождает λ



Бесконечномерная система

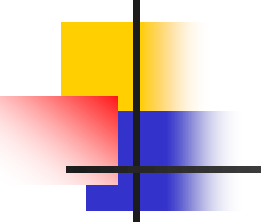
$$\frac{du_i}{dt} = u_{i+1}, \quad u_i(t) = \gamma_i u_0^i(t) \quad i = 1, 2, \dots \quad \gamma_i = (i-1)!$$

$$\frac{du_0}{dt} = u_0^2$$



$$u_0(t) = \frac{u_0(0)}{1 - u_0(0)t} \leq 1,$$

$$u_0(t) \equiv 1, \quad \frac{u_0(0)}{1 - u_0(0)t} \geq 1$$

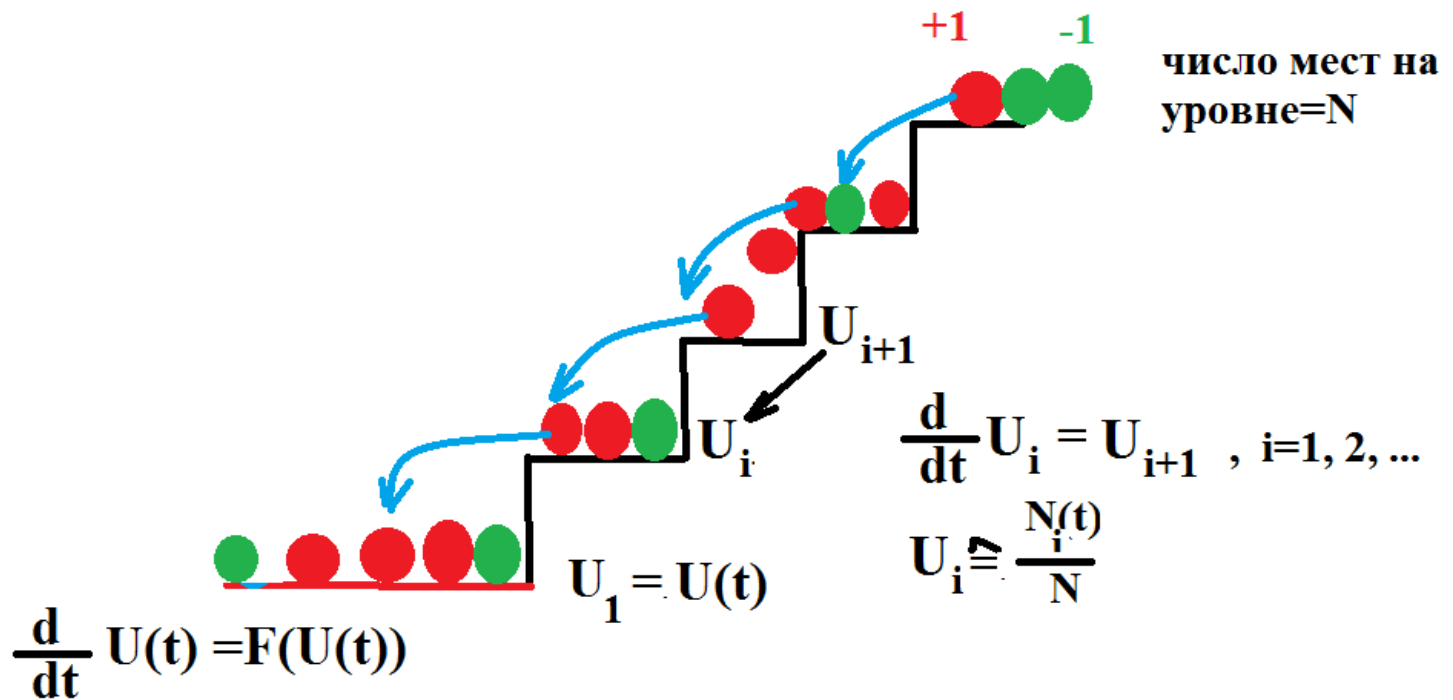


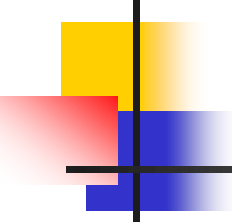
Модель переходов:
каждое ОДУ с аналитической
правой частью вкладывается в
стандартную бесконечномерную
систему

$$\frac{du_i}{dt} = u_{i+1} \quad i = 1, 2, \dots$$

Иерархическая «лестница» целочисленных переходов

заселенность уровня $N(t) = \text{сумма}(+1) + \text{сумма}(-1)$



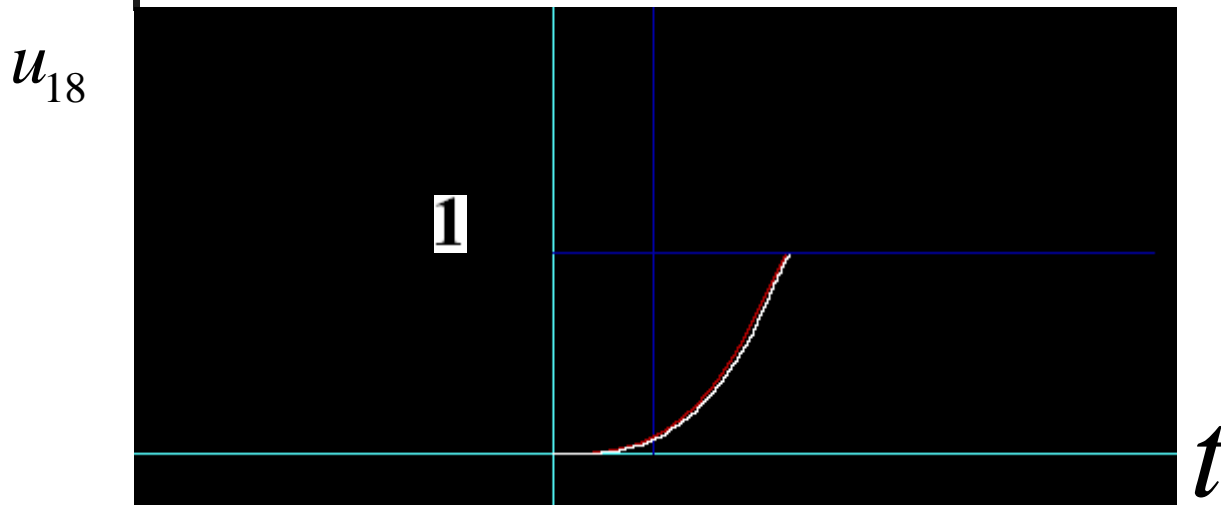


Модель переходов

- При заполнении уровня появление новых объектов возможно лишь на освобождающиеся места
- Вычисление частоты появления объектов на уровне i выполняется по формуле

$$u_i = \frac{N_i}{N}$$

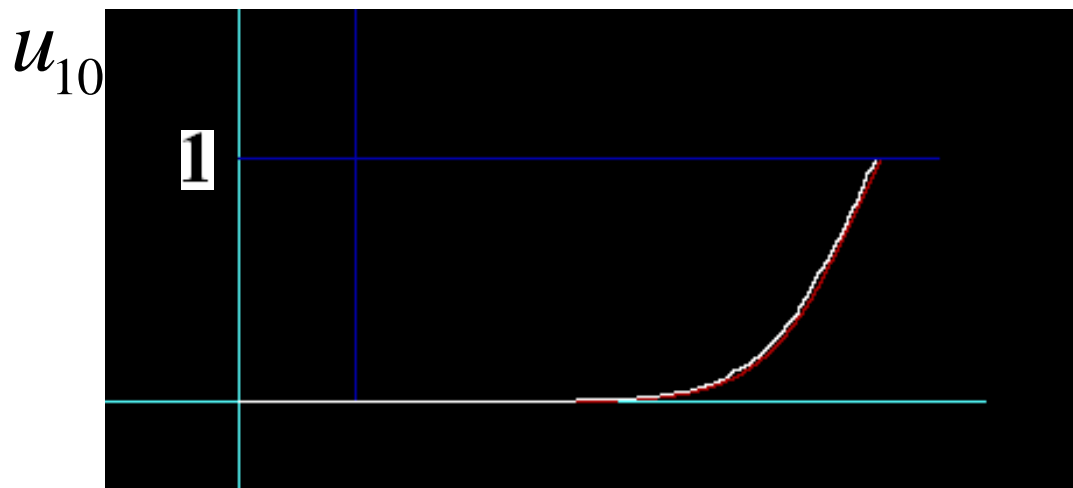
Сравнение результатов моделирования и расчетов;
число уровней=20 , число частиц на уровне 10^3



$$q_i = 0 \quad i \leq 19$$

$$q_{20} = 0.5$$

уровень 18



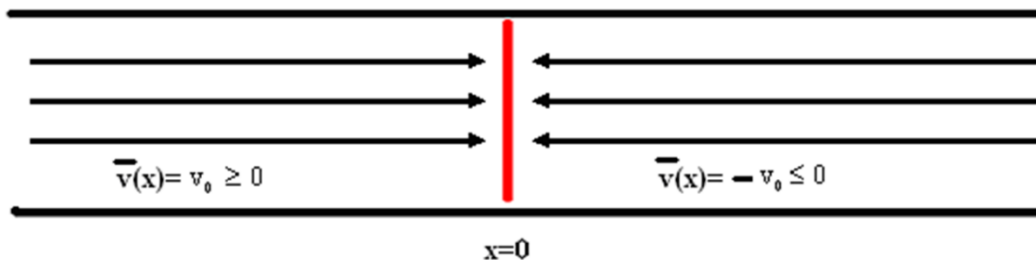
уровень 10

Решение в классе мер для встречных потоков газа (функциональные решения)

$$\rho(x, t) \mapsto \rho(dx, t) \quad \Rightarrow \quad \begin{cases} \mu(\rho, T, x, t) = \frac{1}{2} R \int_{x-l}^{x+l} T(x, t) \rho(dx, t), \\ \kappa(T, \rho, x, t) = \frac{5}{4} R \int_{x-l}^{x+l} T^2(x, t) \rho(dx, t), \end{cases}$$

$$\bar{v}(x, 0) = -\text{sgn}(x)v_0, \quad T(x) = 0, \quad x \in \mathbb{R}_1, \quad \rho(x, 0) = \begin{cases} \rho_0 = \text{const}, & x \neq 0, \\ 0, & x = 0, \end{cases}$$

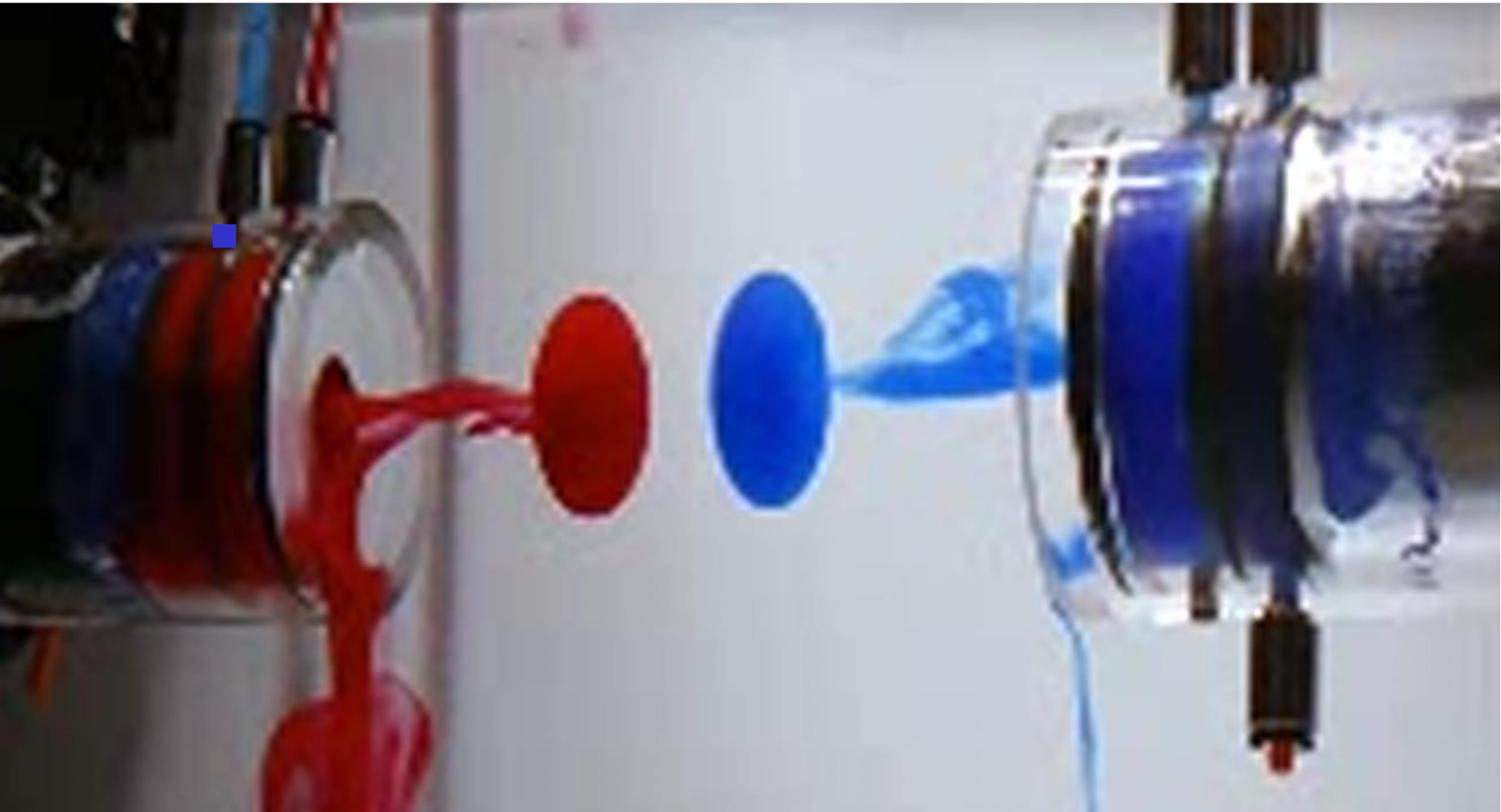
$$\bar{v}(x, t) = -\text{sgn}(x)v_0, \quad t \geq 0, \quad x \in \mathbb{R}_1, \quad \rho(x, t) = \begin{cases} \rho_0, & x \neq 0, \\ 2tv_0\rho_0\delta_0, & x = 0, \end{cases} \quad t \geq 0,$$



$$T(x, t) = \begin{cases} \frac{v_0^2}{3R}, & x = 0, \quad t > 0, \\ 0, & x \neq 0, \quad t > 0. \end{cases}$$

--область конденсации вещества при лобовом столкновении встречных потоков частиц

Столкновение встречных пучков (эксперимент)

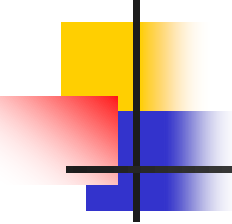


Столкновение встречных пучков (эксперимент)



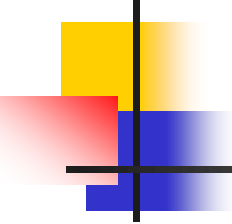
Столкновение встречных пучков (эксперимент)





Проблемы:

- Разработка универсального вычислительного алгоритма и устройства для УРЧП
- Обоснование прямого моделирования пространственно неоднородных задач
- Распараллеливание алгоритмов



Благодарим за внимание!
